

# I-53 神戸大橋の設計と製作

神戸市港湾局

正員 永田安彦

正員 ○島田喜十郎

川崎重工業KK鉄構事業部

正員 繁戸武一

村田安房

## 1 概要

神戸大橋は、神戸港に現在造成中のポートアイランドと臨港地区、市街地等を連絡するために建設されたものである。本橋はこのポートアイランドと新港第4突堤間 200 m の水路上に建設されたが、港内に架橋されるため種々の制約条件が付された。橋梁形式、構造については種々検討を行ない、最終的にセルフアンカータイプの3聖間連続ダブルデッキアーチ橋 ( $51.0\text{m} + 217.0\text{m} + 51.0\text{m} = 319.0\text{m}$ ) に決定した。本橋の特徴を示すと以下のようである。

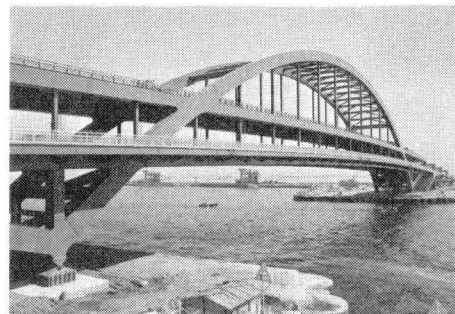


写真-1 完成した神戸大橋

- (1) アーチ橋としてはわが国で最大規模を有する。
- (2) 上、下路を有するダブルデッキ構造。
- (3) 耐候性鋼材の全面的使用。
- (4) MIO (Micaceous Iron Oxide) 系塗料の採用。
- (5) 大型ナローティングクレーンを用いた大ブロック架設工法。

等の新しい試みが種々なされた。(写真-1 参照)

## 2 設計

この種の橋はわが国において他に例がなく設計に際しては、鋼道示設計荷重の他に本州四国連絡橋設計指針、コンテナー荷重を考慮するとともに、部分模型による風洞実験、光弾性実験を実施しそれらの結果を設計面に反映させた。神戸大橋の設計主要目は次のとおりである。(図-1 一般図参照)

型式、3聖間連続ダブルデッキアーチ橋

橋長、322m (伸縮継手間)

スパン割、 $51.0 + 217.0 + 51.0\text{m}$

橋高、49.2m (KP 0.0m 上)

主構中心間隔、17.0m

幅員 車道部(上、下デッキ)  $14.0\text{m} + 2 \times 0.5\text{m}$  (地覆)

歩道部(下デッキ)  $2 \times 3.0\text{m} + 2 \times 2 \times 0.25\text{m}$  (地覆)



図-1 神戸大橋の架設地点および一般図

舗装、アスファルト舗装 6.5 cm  
縦断勾配、2.5% 放物線勾配

本橋の詳細設計を行う場合、わが国の鋼道路橋設計示方書（適用スパン 150 m 以内）の適用範囲外となるが種々検討を行なった結果主構部、支承の設計には鋼道示を適用することとした。しかし床版および床組構造については、ポートアイランドより発生するコンテナー車に対処するため、4車線のうち2車線について  $8' \times 8' \times 40'$  のコンテナートレーラー荷重を考

床版、鉄筋コンクリート床版 19 cm  
横断勾配、1/2" 双曲線勾配

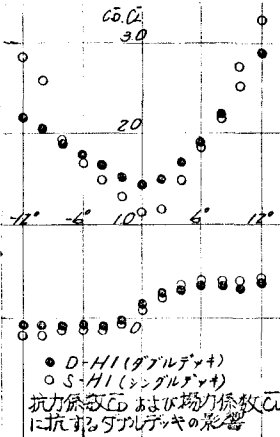


図-2 風洞実験結果

慮し設計した。そのほかに、風荷重、地震荷重については、本州四国連絡橋耐風、耐震設計指針に基づき、風荷重は 10 分間平均風速  $V_0 = 45 \text{ m/sec}$  とし高度および水平長の補正を行ない、設計風速、ダブルデッキ部  $V = 63.1 \text{ m/sec}$ 、アーチ弦材部  $V = 64.5 \text{ m/sec}$  とし、地震荷重については、基準水平振度  $K_H = 0.2$ 、鉛直振度  $K_V = 0.1$  と決定した。特にダブルデッキに対する風荷重の影響を知るために、部分模型風洞実験を実施し風荷重抗力係数 ( $D = 2.4$ ) を決定した。図-2 に抗力係数  $C_D$  および揚力係数  $C_L$  に抗するダブルデッキ影響図を示す。また部材交差部の応力性状を知るために、光弾性実験を実施し設計面に反映させた。支点不等沈下に対しては、沈下量  $100 \text{ mm}$  を想定し、部材力についてはそれによる最も危険なる組合せを考え、一次部材力として断面決定に配慮を加えた。神戸大橋の設計荷重を示すと主荷重（1次荷重）

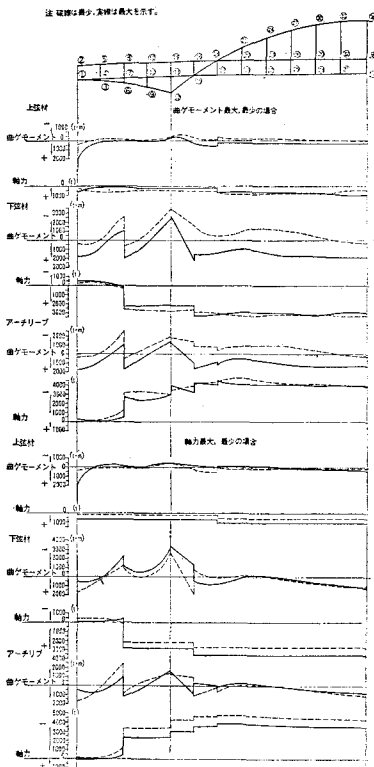
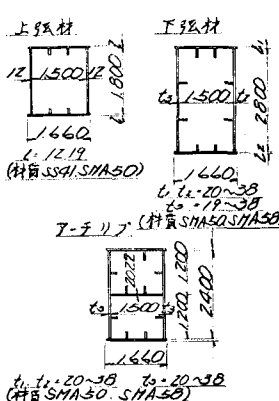


図-3 主構断面力図



① 鋼重 ② 死荷重 ③ 活荷重 ④ 支点不等沈下 従荷重（2次荷重） ① 風荷重 ② 地震荷重 ③ 温度変化量 であり各部材力はこれらの組合せを考慮した。

主構は上弦材、下弦材、アーチリブ、吊材、鉛直材等の結合による内的に 111 次の不静定構造となる。外的支承条件は、中間の 1 支承を固定支承とし他の中間支承および両側の 2 支承の計 3 支承を水平方向可動支承とした。このため外的には 2 次の不静定構造となる。各構成部材断面は、上弦材、下弦材、アーチリブに対しては、曲げモーメント、軸力、剪断力を、鉛直材、吊材、支柱（端鉛直材、中間支点上支柱を除く）に対しては、軸力、剪断力に抵抗する部材とした。主構の解析は、変形法により大型電子計算機を使用した。（図-3 主構断面力図、図-4 主構部材断面図を

図-3 主構部材断面

示す) 床組構造は床版、縦桁、横桁にて構成されているが、本橋においては橋軸方向地震荷重に対処するため、上デッキ下デッキの中央径間部の各2ヶ所に制動構を設けた。また主構の部材力による弾性変形に対する床組構造の影響を除去するため、特に縦桁の連結にはH丁ボルトを使用した

横構は、軸方向圧縮力の大きいアーチリブの弾性変形により生ずる2次応力の導入を防ぐ意味から、Kトラス型を採用することとした。

本橋はユニークな構造を有しているため、基本的な振動性状(固有振動周期、振動モード)を計算により把握した。図-4に1次、2次の振動モードの計算結果を示す。また本橋が完成した段階において諸種の外的条件に対する安全性の照査ならびに、理論解析と実際橋梁の比較資料を得るために、現地において種々の試験を行なった。

表-1 耐候性鋼材製造仕様

### 3 工場製作

本橋は海上に架設される構造物であり海塩粒子の影響を受け、鋼材は非常にさびやすい条件下におかれれる。また、付近の重工業地帯から発生する亜硫酸ガスによる影響も考えられ、鋼材の防錆、防鏽に対しては特別の配慮が必要である。したがって本

橋では使用鋼材に耐候性鋼を全面的に採用したが、この場合耐候性鋼は一般構造用鋼にくらべて炭素当量がやや高くなるため、同鋼材の溶接性を重要視し、特に炭素当量、機械的性質および板厚公差等を規制した本橋用耐候性鋼材製造仕様を制定した。(表-1 参照)

本橋の全鋼材使用重量は約 6500 ton であるが、そのうち  $60\text{kg}/\text{mm}^2$  級高張力鋼材の使用重量は  $2400\text{ton}$  と全体の約 40% をしめ、最大板厚も  $38\text{mm}$  (局部的には  $57\text{mm}$ ) となっている。したがって、本橋の溶接施工に際しては慎重を期し、溶接施工試験を SMA58Q および SMA50B のほぼ使用最大板厚のものについて実施し、基本的な施工方針を決定した。溶接施工試験の内容としては、昭和 43 年 6 月、日本道路協会で制定した「溶接鋼道路橋のための材料試験および溶接施工試験要領書」に盛られた試験項目はもちろんのこと、供試材の CCT 測定試験、すみ肉剪断試験等の特殊試験も併せて

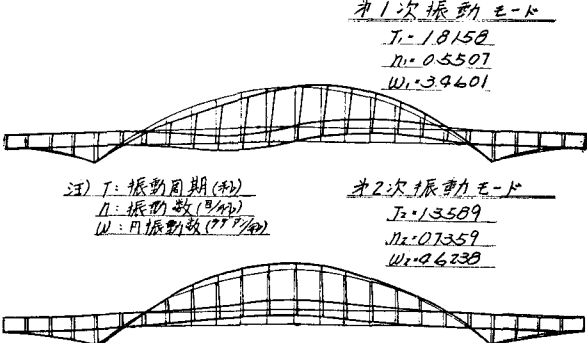


図-4 1次、2次の振動モード図

鋼種	板厚 (mm)	化 学 成 分 % (%)						機械的性質 屈服強度 引張強度 延伸率 硬度 等	
		C	Si	Mn	P	S	Cr		
耐候性 SS41	≤ 22	≤ 0.21	-	-	≤ 0.02	≤ 0.02	≤ 0.40	-	≤ 0.58 224 N/mm <sup>2</sup> - 190.15 21%以上
A 32	≤ 32	≤ 0.17	≤ 0.25	≤ 1.90	≤ 0.02	≤ 0.02	≤ 0.40	-	≤ 0.58 224 N/mm <sup>2</sup> - 0°C 190.15 21%以上
SM41B	≤ 30	≤ 0.17	≤ 0.25	≤ 1.90	≤ 0.02	≤ 0.02	≤ 0.40	-	≤ 0.58 224 N/mm <sup>2</sup> - 220 N/mm <sup>2</sup> - 190.15 21%以上
C 5.50	≤ 5.50	≤ 0.16	≤ 0.25	≤ 1.90	≤ 0.04	≤ 0.02	≤ 0.40	-	≤ 0.58 222 N/mm <sup>2</sup> - 220 N/mm <sup>2</sup> - 190.15 21%以上
A 32S	≤ 32	≤ 0.16	≤ 0.25	≤ 1.90	≤ 0.04	≤ 0.02	≤ 0.40	-	≤ 0.58 224 N/mm <sup>2</sup> - 220 N/mm <sup>2</sup> - 190.15 21%以上
SHAS50B	≤ 30	≤ 0.16	≤ 0.25	≤ 1.90	≤ 0.04	≤ 0.02	≤ 0.40	-	≤ 0.58 224 N/mm <sup>2</sup> - 220 N/mm <sup>2</sup> - 190.15 21%以上
C 5.50	≤ 5.50	≤ 0.16	≤ 0.25	≤ 1.90	≤ 0.04	≤ 0.02	≤ 0.40	-	≤ 0.58 224 N/mm <sup>2</sup> - 220 N/mm <sup>2</sup> - 190.15 21%以上
SMA50A	≤ 50	≤ 0.16	≤ 0.25	≤ 1.90	≤ 0.04	≤ 0.02	≤ 0.40	-	≤ 0.58 224 N/mm <sup>2</sup> - 220 N/mm <sup>2</sup> - 190.15 21%以上
SMA50B	≤ 50	≤ 0.16	≤ 0.25	≤ 1.90	≤ 0.04	≤ 0.02	≤ 0.40	-	≤ 0.58 224 N/mm <sup>2</sup> - 220 N/mm <sup>2</sup> - 190.15 21%以上

注：(1) SMA50A および SMA50B については Ni, Mo, Nb, V, Ti, Zr の添加元素を付加したこと。  
(2) 各元素量(Co<sub>9</sub>)の計算値を次式によると。  
$$\text{Co}_9 = C + Mn/6 + Si/1.99 + Cr/6 + Ni/40 + Mo/4 + V/14$$

(3) JIS C 4450-50～52 であるが範囲を狭めた。

(4) JIS C 4450-50～72 であるが範囲を狭めた。

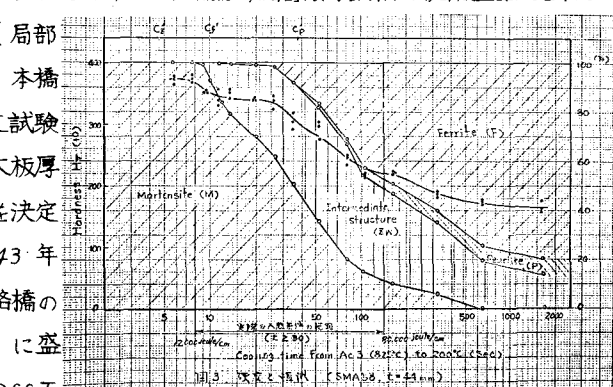


図-5 硬度と組織(SMA58, t = 44 mm)

実施した。参考までにSMA58QのCCT図より求められた硬度と組織の関係を図-5に示す。

溶接施工においては、特に溶接割れ防止に対処するため厳格な施工条件の選定ならびに施工に対する管理の徹底に最重責を払うよう考慮した。溶接材料は、耐割れ性および溶接棒の吸湿性の点で特に優れた極低水素系棒を使用した。(表-2) 極低水素系棒

表-2 使用溶接材料

鋼種	手溶接材料		サブマージ溶接材料	
	規格	銘柄	芯線	フラックス
耐候性SS41 SMA41	D5016	KS76Cu	US36	MF38(A)
	D5026	KS78Cu		
SMA 50	D5016	LBW52A*		
	D5026	LBW52-28A*		
SMA 58 Q	D5816	KS86Cu*	US49	MF38(A)
	D5826	LBW62-28*		

(注) \* 日本極低水素系棒を示す。

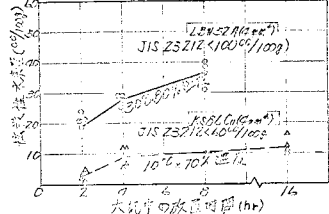


図-6 溶接棒の設置時間と拡散性水素量の関係適用をはかり、板継ぎおよび箱桁外面のすみ肉継手に全面的に採用した。

の大気中の放置時間と拡散性水素

量の関係を図-6に示すが、同図からわかるように苛酷な環境条件下においても、その吸湿特性は良好な結果を示すことが認められている。

溶接方法は、割れ防止と能率向上の両観点より可能な限り自動溶接法の採用を考慮した。自動溶接法としては、サブマージアーク溶接の

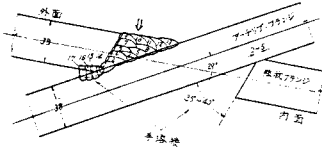


図-7 交差部溶接条件

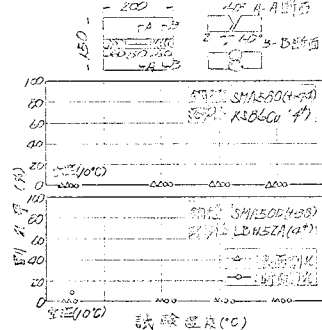


図-8 鉄研式溶接割れ試験結果

た。また、箱桁内面の縦リブを主体としたすみ肉継手および交差ブロックの重要継手の溶接には、部分的にサブマージ半自動を適用した。

交差部の継手形状および半自動溶接条件を図-7に示す。つぎに手溶接法においては、溶接棒の吸湿対策ならびに適正な予熱施工の徹底に

主眼をおいた。予熱施工については、前述の鋼材仕様を満足した材料

を用い、しかも溶接棒には極低水素系のものを使用すれば図-8に示す鉄研式溶接割れ試験結果からわかるように、室温(10°C)でもほとんど割れ発生が認められていないが、実際工事に対してはSMA50の場合50°C~70°C、SMA58Qの場合70°C~100°Cの予熱を行なった。

特に交差ブロックの予熱施工において

は、予熱管理の徹底を計るためストリップヒーターによる電気的加熱方法(自動温度制御方式)を全面的に適用した。なお予熱温度とJIS最高硬さの関

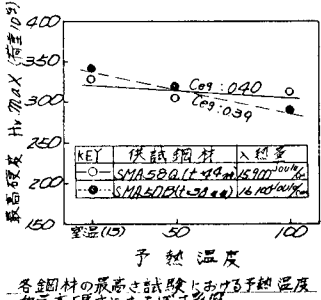
係は図-9に示すように、予熱によっ

て硬さが著しく低下している。

アーチリブ、上・下弦材の大ブロックは、大型フェーシングマシンによって端面切削を行ない、精度の向上に努めた。個々のブロックについて、製作各工程で入念な部材検査を行ない、ブロック単品としての精度チェックを完了したうえで、部分仮組方式により平面仮組立を実施した。

なお本橋の塗料には、防錆、防錆に対する重要性を考慮し、MIO(Micaeous-Iron Oxide)系塗料を我が国ではじめて採用した。

以上神戸大橋の設計および製作についての概要を述べたが、講演時にはスライドによりさらに詳細に報告する予定である。



各鋼材の最高硬さ試験における予熱温度

各最高硬さにおける予熱温度